

生长问题：

- 自然界有很多物质形态，象**Gold Black**，**coagulated aerosols**等等都是颗粒聚集呈现非常纤细的形态。
- 这些聚集体的空间相关函数与尺度都呈幂指数关系，其形成过程具有强烈的动力学特征。
- 与此类似的平衡结构有**Eden growth model**生长模型，**random animals**随机动物，**self-avoiding walk**自规避行走和**percolating clusters**渗流集团。
- 前者是动力学结构，后者是平衡结构。



DLA 模型:

- **DLA**模型是**Eden**模型的另一个变种，其主要差别是加进了动力学效应：颗粒不是随机加在已存在颗粒周围，而是通过从远处随机扩散来实现**sticking**，进而生长。
- 具有随机扩散的动力学会变得十分不同！扩散拉普拉斯方程！
- (1) 加入了动力学行为后形成的结构有什么特征？
- (2) 宏观描述背后的微观机理是什么？
- (3) 如何与非线性动力学联系起来？



非线性物理：分形物理

- **DLA模型基本步骤如下：**
- **(1)点阵原点存在一个颗粒；**
- **(2)第二个粒子从远处某个随机位置发出，空间进行随机行走，直到碰上一个已存在的颗粒，则此颗粒固定下来。**
- **(3)重复过程(1)和(2)。**
- **(4)如果颗粒碰上边界，此颗粒被舍弃。**
- **这种生长一个突出的特点是越是向外伸展的聚集体枝叉生长得越快，即所谓“shadowed”效应，因此聚集体比Eden模型要开放。**



非线性物理：分形物理



非线性物理：分形物理

- **相关性分析：** 上图是一个典型的正方点阵模拟的**DLA cluster**，在三角点阵或者无规点阵里面一样。
- 结构分析手段之一是空间相关函数。聚集体密度的定义是：

$$\begin{cases} \rho(\vec{r}) = 1 \text{ if occupied} \\ \rho(\vec{r}) = 0 \text{ if not yet} \end{cases}$$



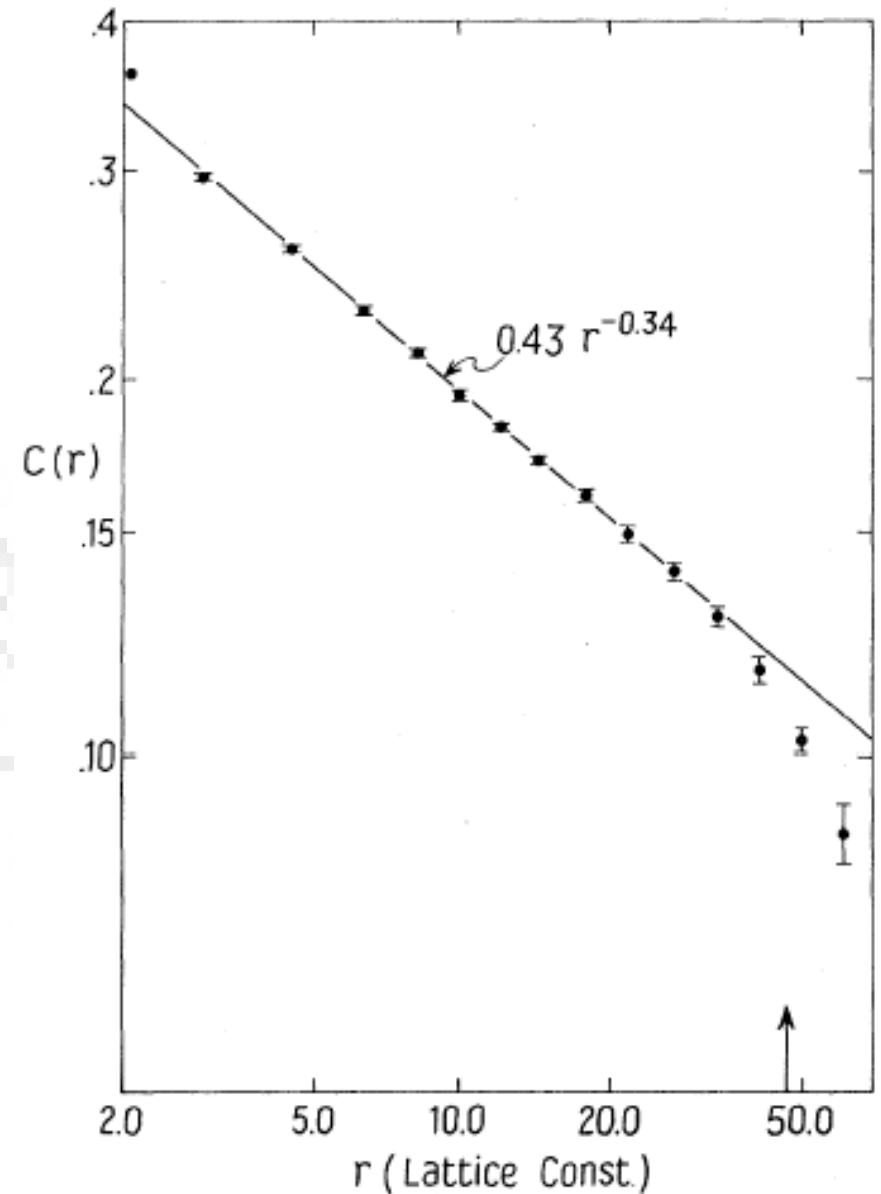
- 一个含N个颗粒的聚集体相关函数定义如下，这个定义只是对系综平均相关函数的近似表达

$$C(r) \equiv N^{-1} \sum_{r'} \rho(r') \rho(r' + r), \quad \langle \rho(\vec{r}') \rho(\vec{r}' + \vec{r}) \rangle / \langle \rho(\vec{r}') \rangle$$



非线性物理：分形物理

- 只要 r 远小于聚集体尺度，上述相关函数应该只与距离 r 相关。
- 对上图DLA聚集体的分析计算得到相关函数如右图所示，数据是对六个3000颗粒的 aggregates 沿各个方向统计平均的结果。



非线性物理：分形物理

- 重要的是幂指数相关性。
- 对三角点阵有类似的幂指数结果。
- 其它结果总结在表 I 中。

$$C(r) \sim r^{-0.343 \pm 0.004}$$

TABLE I. Values of the correlation exponent A for diffusion-limited aggregation model and other systems.

	A	
	Two dimensions	Three dimensions
Diffusion-limited aggregation:		
Square lattice, average of six clusters of 2079–3609 particles in size (Fig. 2).	0.343 ± 0.004^a	
Triangular lattice, average of three clusters of 1500–2997 particles.	0.327 ± 0.01^a	
Radius of gyration, weighted average of A values inferred for six clusters of 999–3000 particles, Eq. (5).	0.299 ± 0.02^a	
Koch curve with $A = 2D = 0.416$, measured average correlation function of seven curves, translated and rotated at random.	0.42	
Metal-particle aggregates, correlations of particle density from micrographs, Ref. 3.	0.32 ± 0.01^b	1.32 ± 0.01^c
Self-avoiding walk (flight), correlations of step density, Ref. 6.	0.667	1.33
Percolation, from radius of gyration of clusters at threshold, Eq. (5), Refs. 5 and 7.	~ 0.2	0.9
Random animals from radius of gyration, Eq. (5), Ref. 5.	0.46	1.18



非线性物理：分形物理

- **分形分析：**DLA所给予我们直观的分形特征指导我们进行分形分析。先从数学上和Koch结构开始。
- 利用上面的空间相关函数方法进行分析得出幂指数为**-0.42**，而Koch结构的分形维严格上是 **$D = \ln 3 / \ln 2 = 1.585 = 2.0 - 0.42$** 。
- 在 Hausdorff 集合中密度相关具有如下形式：

$$\langle \rho(\vec{r}') \rho(\vec{r}' + \vec{r}) \rangle \sim r^{D-d} \equiv r^{-A}.$$

- 可以理解，一个开放的体系空间相关性总是随着距离而衰减的。我们来看看如何推出这一关系。



非线性物理：分形物理

- 所谓 **Hausdorff** 集是指这样一个空间，它可以被半径为 a 的物体填充，但拓扑学上看并没有填满。而半径为 a 的物体个数 $K(a)$ 按照 a^{-D} 变化。这是我们前面讲分形维定义时已经讲到。
- 这样空间体积为 $V = \Sigma K(a)a^d \sim \Sigma a^{d-D}$ 。而每一个物体的平均体积 $N(a) \sim 1/K(a) \sim a^D$ 。按照空间相关函数的定义，我们有：

$$\begin{aligned} a^D \sim N(a) &= \int_0^a d^d r \langle \rho(\vec{r}) \rangle_{\text{origin occupied}} \\ &= \int_0^a d^d r \langle \rho(\vec{r}) \rho(0) \rangle / \langle \rho(0) \rangle, \end{aligned}$$

$$\langle \rho(\vec{r}') \rho(\vec{r}' + \vec{r}) \rangle \sim r^{D-d} \equiv r^{-A}.$$



非线性物理：分形物理

- 这里 d 是空间维数。可以看出，要满足上式，相关函数必须是第二行的形式，因为将相关函数表达式代入上式就得到 $N(a) \sim a^D$ 。
- 记住：不要管系数的变化，只管幂指数的变化。
- 在 r 很大或者很小时，相关函数对幂指数律的偏离是因为存在一个下限尺度和上限尺度。
- 当然，更为直接的是颗粒数目 N 对聚集体回转尺寸 R 的幂指数律关系：

$$N(a) \sim a^D \text{ for } a \lesssim R, \quad N \sim R^D = R^{d-A}.$$



非线性物理：分形物理

- 相关函数对尺度的幂指数关系说明了**DLA**聚集体具有标度不变性，这与平衡统计力学中的自回避行走，渗流集团和相变过程的临界现象相似。
- 但是一个很大的不同是**DLA**模型的标度不变性是因为不可逆的动力学生长过程，而上述那些行为则是源自平衡态系综。



非线性物理：分形物理

- 微观输运过程分析—为什么是非线性问题？
- 从输运动力学角度分析，**DLA**模型与枝晶生长模型可以类比。既然加入了扩散动力学，那么可以从微观扩散角度分析问题。
- 根据扩散定律，我们总是可以将生长速率表示为与局域输运通量成正比。

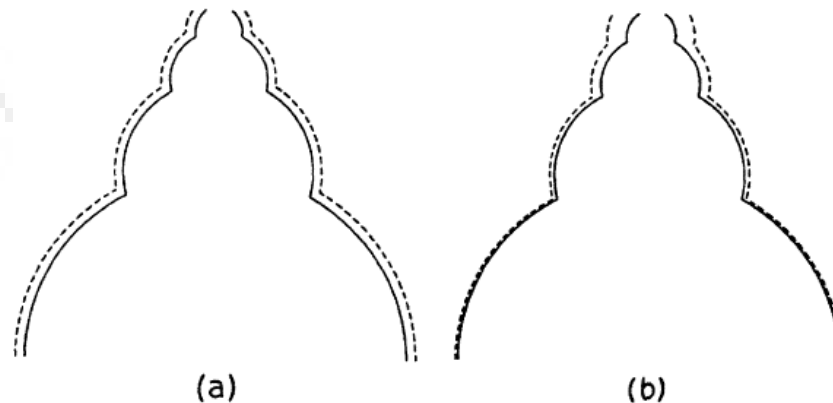


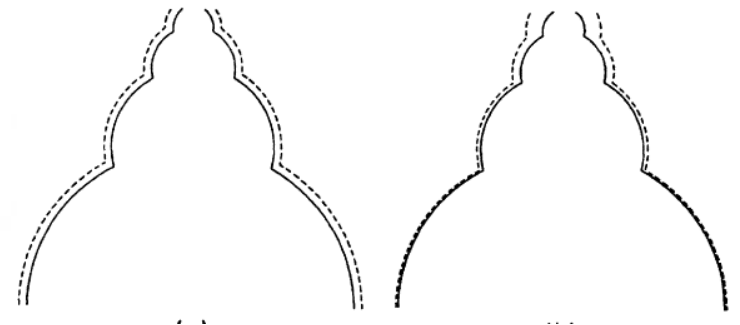
FIG. 2. Growth of a tower of spheres according to (a) the Eden model and (b) DLA.

非线性物理：分形物理

- 聚集体周边某一位置 r 在随机行走的第 n 步俘获一个颗粒的概率应该与此处此时的浓度梯度 $u(r,n)$ 成正比，而 $u(r,n)$ 应该与第 n 步访问过位置 r 的随机行走数目成比例，虽然在这个第 n 步以前此位置仍然不是聚集体周边位置，因为聚集体一直在生长。

- 假定这个数目是 $Z_n(r)$ ，那么应该有：

$$Z_{n+1}(\vec{r}) = \sum_{\alpha=1}^c Z_n(\vec{r} + \vec{\alpha}),$$



- 这里 α 是对 c 个最近临位置求和。浓度梯度 $u(r,n) = Z_n(r)/c_n$ 。

由此可以得出如下微观方程：



非线性物理：分形物理

$$\begin{aligned} u(\vec{r}, n+1) - u(\vec{r}, n) \\ = c^{-1} \sum_{\alpha=1}^c [u(\vec{r} + \vec{\alpha}, n) - u(\vec{r}, n)], \end{aligned}$$

- 在聚集体边界处有 $u=0$ ，所以在边界处 u 也就是浓度，所以上式左边：

$$u(\vec{r}, n+1) - u(\vec{r}, n) = \frac{\partial C(\vec{r}, n+1)}{\partial x} - \frac{\partial C(\vec{r}, n)}{\partial x}$$

$$\because \text{at growing surface} : \partial x = 1, \partial C = C - 0 = C$$

$$\therefore u(\vec{r}, n+1) - u(\vec{r}, n) = \frac{\partial C(\vec{r})}{\partial t}$$



非线性物理：分形物理

- 而右边则是标准的Laplace算符(Laplacian operator)。所以上式正是含时的Laplace方程。

$$\begin{aligned} \sum_{\alpha=1}^c [u((\vec{r} + \vec{\alpha}), n) - u(\vec{r}, n)] &= \sum_{\alpha=1}^c \left[\frac{\partial C((\vec{r} + \vec{\alpha}), n)}{\partial r} - \frac{\partial C(\vec{r}, n)}{\partial r} \right] \\ &= \sum_{\alpha=1}^c \left[\frac{\partial^2 C((\vec{r}), n)}{\partial r^2} \right] = \nabla^2 C(r, t) \end{aligned}$$

- **DLA**的微观过程不过就是满足含时Laplace方程随机扩散而已。
- 事实上，**DLA**过程的核心是在随机扩散而不是在沉积机理上，因为沉积过程中粘附几率=1.0，没什么更多物理。



本章节作业：

- 模拟一个 $N > 3000$ 的MDLA，利用下面的哈密顿：

$$\beta E = -\frac{\beta J}{2} \sum_{\langle i,j \rangle} \sigma_i \sigma_j - \beta H \sum_i \sigma_i,$$

- 利用相关函数和质量回转法求取分形维！
- 研究其临界相变行为与二维体系有何不同？
- 如果 J 是随机场，研究其分形行为和临界相变行为！（选作）
- 分析MDLA与 βJ 、随机场强度的依赖关系。



